

РАСЧЕТ ПОЛЯ В ТРЕХСЛОЙНОМ ДИЭЛЕКТРИКЕ
КОЛЬЦЕВОГО СЕЧЕНИЯ
ПРИ ЗАДАННОМ РАСПРЕДЕЛЕНИИ ПОТЕНЦИАЛОВ
НА КРАЙНИХ ГРАНИЧНЫХ ПОВЕРХНОСТЯХ

И. П. ГУК, В. А. ЛУКУТИН, В. С. СОКОЛОВ.

(Представлена научным семинаром кафедры теоретических основ
электротехники)

Определение потенциала в однослойном диэлектрике кольцевого сечения (длинная труба из диэлектрического материала), при заданном распределении потенциала на окружностях граничных поверхностей, непосредственно сводится к решению внутренней задачи Дирихле для кольца. В литературе [1] этот случай рассмотрен достаточно подробно, решение записано в виде тригонометрического ряда и даны формулы для определения его коэффициентов.

Для двухслойного и трехслойного диэлектрика подобное решение задачи в литературе отсутствует и готовых формул для определения указанных коэффициентов нет, в то время как в связи с конструированием и исследованием электростатических генераторов цилиндрического типа и некоторой другой электрофизической аппаратуры, общее решение этой задачи приобретает определенный практический интерес.

В настоящей работе найдено распределение потенциала в каждом из слоев трехслойного диэлектрика кольцевого сечения в общем случае, т. е. при произвольном соотношении радиусов граничных поверхностей, электрических проницаемостей сред и произвольном виде функций распределения потенциала на крайних граничных поверхностях.

Рассмотрим диэлектрик, представляющий собой длинную трубу, состоящую из трех концентрически расположенных слоев из различных диэлектрических материалов с электрическими проницаемостями $\epsilon_1, \epsilon_2, \epsilon_3$. Сечение такой трехслойной трубы показано на рис. 1.

Полагаем, что осевая длина трубы достаточно большая сравнительно с внешним диаметром сечения, так что поле можно считать плоскопараллельным, свободные заряды в диэлектриках и на разделяющих их поверхностях отсутствуют, разделение потенциалов по окружностям крайних граничных поверхностей задано некоторыми функциями

$$U_i = \varphi(r_i; \theta) \quad \text{и} \quad U_{i+1} = \varphi(r_{i+1}; \theta) \quad (1)$$

Потенциал в каждом из слоев диэлектрика определяется уравнением Лапласа

$$\Delta\varphi^{(i)} = 0, \quad (2)$$

где $i=1, 2, 3$ — номер слоя.

Решая уравнение (2) методом разделения переменных, получаем выражение для потенциала в виде тригонометрического ряда [1]

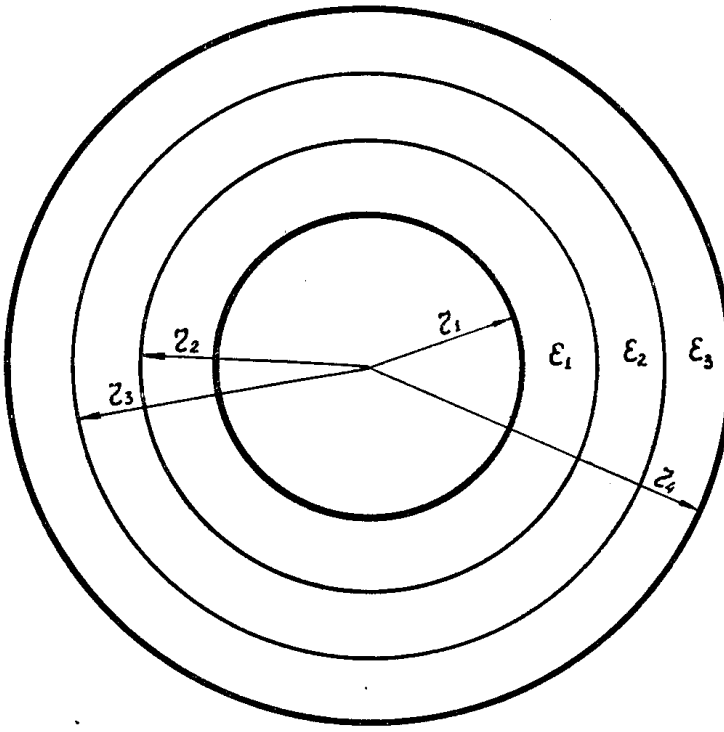


Рис. 1.

$$\varphi^{(i)}(r; \theta) = A_0^{(i)} \ln r + B_0^{(i)} + \sum_{k=1}^{\infty} [(A_k^{(i)} r^k + B_k^{(i)} r^{-k}) \cos k\theta + (C_k^{(i)} r^k + D_k^{(i)} r^{-k}) \sin k\theta]. \quad (3)$$

Это решение справедливо для любого слоя.

Для нахождения постоянных в уравнении (3) разложим в ряд Фурье граничные функции

$$U_1(\theta) = \frac{\alpha_0^{(1)}}{2} + \sum_{k=1}^{\infty} (\alpha_k^{(1)} \cos k\theta + \beta_k^{(1)} \sin k\theta) \quad (4)$$

$$U_4(\theta) = -\frac{\alpha_0^{(4)}}{2} + \sum_{k=1}^{\infty} (\alpha_k^{(4)} \cos k\theta + \beta_k^{(4)} \sin k\theta). \quad (5)$$

Приравнивая коэффициенты при косинусах и синусах в уравнении (3), записанном для первого слоя ($i=1$), соответствующим коэффициентам тригонометрического ряда (4), а коэффициенты при косинусах и синусах в уравнении (3), записанном для третьего слоя, соответствующим коэффициентом ряда (5), получим шесть уравнений.

При $r=r_1$

$$A_0^{(1)} \ln r_1 + B_0^{(1)} = \frac{\alpha_0^{(1)}}{2}, \quad (6) \quad A_0^{(3)} \ln r_4 + B_0^{(3)} = \frac{\alpha_0^{(4)}}{2}, \quad (9)$$

$$A_k^{(1)} r_1^k + B_k^{(1)} r_1^{-k} = \alpha_k^{(1)}, \quad (7)$$

$$C_k^{(1)} r_1^k + D_k^{(1)} r_1^{-k} = \beta_k^{(1)}. \quad (8)$$

При $r=r_4$

$$A_0^{(3)} r_4^k + B_0^{(3)} r_4^{-k} = \alpha_k^{(4)}, \quad (10)$$

$$C_k^{(3)} r_4^k + D_k^{(3)} r_4^{-k} = \beta_k^{(4)}. \quad (11)$$

Остальные двенадцать уравнений получаем из условия непрерывности потенциала и равенства нормальных составляющих вектора электрического смещения на границах раздела диэлектриков.

$$\begin{aligned} & \text{При } r=r_2 & \text{При } r=r_3 \\ \varphi^{(1)}|_{r=r_2} &= \varphi^{(2)}|_{r=r_2}, & \varphi^{(2)}|_{r=r_3} = \varphi^{(3)}|_{r=r_3}, \\ \varepsilon \frac{\partial \varphi^{(1)}}{\partial r}|_{r=r_2} &= \varepsilon_2 \frac{\partial \varphi^{(2)}}{\partial r}|_{r=r_2} & \varepsilon_2 \frac{\partial \varphi^{(2)}}{\partial r}|_{r=r_3} = \varepsilon_3 \frac{\partial \varphi^{(3)}}{\partial r}|_{r=r_3}, \end{aligned} \quad (12) \quad (14)$$

Приравнивая почленно коэффициенты при синусах и косинусах, а также негармонические составляющие в уравнениях (12)–(15), получим остальные двенадцать уравнений для определения постоянных. Эти последние уравнения получаются простыми, и мы их здесь не приводим. Решая полученную систему и вводя приведенные электрические проницаемости

$$\begin{aligned} \varepsilon_{12} &= (\varepsilon_2 + \varepsilon_1) - (\varepsilon_2 - \varepsilon_1) \left(\frac{r_1}{r_2} \right)^{2K}, \\ \varepsilon_{21} &= (\varepsilon_2 + \varepsilon_1) - (\varepsilon_2 - \varepsilon_1) \left(\frac{r_2}{r_1} \right)^{2K}, \\ \varepsilon_{34} &= (\varepsilon_2 + \varepsilon_3) - (\varepsilon_2 - \varepsilon_3) \left(\frac{r_3}{r_4} \right)^{2K}, \\ \varepsilon_{43} &= (\varepsilon_2 + \varepsilon_3) - (\varepsilon_2 - \varepsilon_3) \left(\frac{r_4}{r_3} \right)^{2K}, \end{aligned}$$

находим следующие значения постоянных при косинусах:

$$\begin{aligned} A_K^{(1)} &= \frac{d_K^{(4)} r_4^K 4 \varepsilon_2 \varepsilon_3 - \alpha_K^{(1)} r_1^K \left[(\varepsilon_2 + \varepsilon_1) \varepsilon_{43} + (\varepsilon_2 - \varepsilon_1) \varepsilon_{34} \left(\frac{r_1}{r_2} \right)^{2K} \right]}{r_4^{2K} \varepsilon_{12} \varepsilon_{34} - r_1^{2K} \varepsilon_{21} \varepsilon_{43}}, \\ A_K^{(3)} &= \frac{\alpha_K^{(4)} r_4^K \left[(\varepsilon_2 + \varepsilon_3) \varepsilon_{12} + (\varepsilon_2 - \varepsilon_3) \varepsilon_{21} \left(\frac{r_1}{r_3} \right)^{2K} \right] - \alpha_K^{(1)} r_1^K 4 \varepsilon_1 \varepsilon_2}{r_4^{2K} \varepsilon_{12} \varepsilon_{34} - r_1^{2K} \varepsilon_{21} \varepsilon_{43}}. \end{aligned}$$

Остальные постоянные при косинусах выражены через $A_K^{(1)}$ и $A_K^{(3)}$.

$$B_K^{(1)} = \alpha_K^{(1)} r_1^K - A_K^{(1)} r_1^{2K}; \quad B_K^{(3)} = \alpha_K^{(4)} r_4^K - A_K^{(3)} r_4^{2K};$$

$$A_K^{(2)} = \frac{r_2^{-2K}}{2\varepsilon_2} \left[A_K^{(1)} r_2^{2K} (\varepsilon_2 + \varepsilon_1) + B_K^{(1)} (\varepsilon_2 - \varepsilon_1) \right];$$

$$B_K^{(2)} = \frac{1}{2\varepsilon_2} \left[A_K^{(1)} r_2^{2K} (\varepsilon_2 - \varepsilon_1) + B_K^{(1)} (\varepsilon_2 + \varepsilon_1) \right].$$

Постоянные при негармонических составляющих записываются в следующем виде:

$$A_O^{(1)} = \frac{\alpha_O^{(4)} - \alpha_O^{(1)}}{2 \left[\ln \frac{r_2}{r_1} + \frac{\varepsilon_1}{\varepsilon_3} \ln \frac{r_4}{r_3} + \frac{\varepsilon_1}{\varepsilon_2} \ln \frac{r_3}{r_2} \right]},$$

$$A_O^{(2)} = \frac{\varepsilon_1}{\varepsilon_2} A_O^{(1)}; \quad A_O^{(3)} = \frac{\varepsilon_1}{\varepsilon_3} A_O^{(1)}. \quad B_O^{(1)} = \frac{\alpha_O^{(1)}}{2} - A_O^{(1)} \ln r_1;$$

$$B_O^{(2)} = A_O^{(1)} \left(\ln \frac{r_2}{r_1} - \frac{\varepsilon_1}{\varepsilon_2} \ln r_2 \right) + \frac{\alpha_O^{(1)}}{2}; \quad B_O^{(3)} = \frac{\alpha_O^{(4)}}{2} - \frac{\varepsilon_1}{\varepsilon_2} A_O^{(1)} \ln r_4.$$

Постоянны при синусах $C_K^{(i)}$ и $D_K^{(i)}$ записывать отдельно нецелесообразно, так как они очень просто получаются из соответствующих выражений для постоянных при косинусах $A_K^{(i)}$ и $B_K^{(i)}$. Чтобы записать формулу для $C_K^{(i)}$, достаточно в выражении постоянной $A_K^{(i)}$ (относящейся к тому же i -му слою) заменить $\alpha_K^{(i)}$ на $\beta_K^{(i)}$, а $\alpha_K^{(4)}$ на $\beta_K^{(4)}$.

Совершенно аналогично из постоянных $B_k^{(i)}$ получаются $D_k^{(i)}$.

Для двухслойного диэлектрика потенциал в каждом слое также определяется выражением (3) ($i=1, 2$).

Для определения постоянных в этом случае можно воспользоваться записанными выше формулами, заменив во всех выражениях γ_4 на γ_3 и приравняв ϵ_3 и ϵ_2 .

Необходимо отметить, что быстрота сходимости ряда (3), определяющего потенциал, зависит в основном от формы кривых, задающих распределение потенциала на крайних границах. Полученные формулы достаточно просты для расчета полей с применением математических машин. Они могут быть использованы также для оценки точности приближенных методов расчета.

ЛИТЕРАТУРА

1. А. В. Конторович, В. И. Крылов. Приближенные методы высшего анализа. Гостехиздат, 1949.
2. В. И. Смирнов. Курс высшей математики. М., т. 11, 1953.